



انجمن حافظت در پرتواری ایران

## مقاله پژوهشی

مجله سنجش و اینمنی پرتو، جلد ۹، شماره ۲، بهار ۱۴۰۰، صفحه ۲۷-۳۶

تاریخ دریافت مقاله: ۱۳۹۹/۱۲/۱۹، تاریخ پذیرش مقاله: ۱۴۰۰/۰۳/۲۵



# بررسی تأثیر گادولینیوم بر فاکتور افزایش دز پرتوهای ایکس و پرتوی گامای حاصل از شتاب دهنده خطی الکترون

محبوبه هادیان جزی<sup>۱\*</sup>، مهدی صادقی<sup>۲</sup> و محمد رضا قاسمی<sup>۳</sup>

<sup>۱</sup>گروه فیزیک، دانشگاه پیام نور، تهران، ایران.

<sup>۲</sup>گروه فیزیک پزشکی، دانشکده فیزیک پزشکی، دانشگاه علوم پزشکی ایران، تهران، ایران.

<sup>۳</sup>پژوهشکده فیزیک و شتابگرها، پژوهشکاه علوم و فنون هسته‌ای، سازمان انرژی اتمی ایران، تهران، ایران.

\*تهران، دانشگاه پیام نور، مرکز تحصیلات تكمیلی، گروه فیزیک، کد پستی: ۱۹۳۹۵-۴۶۹۷

پست الکترونیکی: m\_hadian90@yahoo.com

## چکیده

هدف از پرتو درمانی، بیشینه نمودن دز اعمال شده به تومور و در عین حال کمینه کردن دز در بافت‌های سالم مجاور است. یک رویکرد جدید برای دستیابی به این هدف، استفاده از موادی با عدد اتمی بالا برای نشاندار کردن ناحیه تومور است. در این مطالعه، از گادولینیوم بدین منظور، استفاده شده است. در بخش عملی تحقیق از چشممه‌ی گاما MV ۶ شتاب دهنده خطی الکترون واقع در بیمارستان میلاد اصفهان و فاتحه‌ی فاتحه شکل حاوی آب استفاده شد. ناحیه آشکارساز که محل قرارگیری فیلم‌های گافکرومیک است، مکعب مستطیلی از جنس پلاکسی‌گلاس است که محل فرضی تومور و بافت‌های سالم در دو طرف آن است و در داخل فانتوم قرار می‌گیرد. غلظت‌های مختلفی از گادولینیوم به ناحیه تومور تزریق و فاکتور افزایش دز (DEF) در نواحی مختلف آشکارساز برسی شد. با استفاده از بسته‌ی نرم‌افزاری Geant4، فانتوم و آشکارساز شبیه‌سازی گردید. فاکتور افزایش دز در نواحی مختلف آشکارساز، برای چشممه‌ی پرتوهای ایکس کم انرژی، پرتوهای گاما MeV ۲ (انرژی میانگین شتاب دهنده خطی الکترون) و طیف انرژی فوتون‌های حاصل از شتاب دهنده خطی MV ۶ و برای غلظت‌های مختلف گادولینیوم محاسبه شد. بررسی نشان می‌دهد فاکتور افزایش دز با افزایش غلظت گادولینیوم افزایش می‌یابد. انرژی بهینه برای فاکتور افزایش دز در همه غلظت‌های گادولینیوم در حدود keV ۷۰ به دست می‌آید و با افزایش انرژی فوتون‌ها اثر آن کاهش پیدا می‌کند. در طیف انرژی MV ۶ شاهد نوساناتی در مقدار DEF برای غلظت‌های مختلف گادولینیوم هستیم که علت آن وجود طیف انرژی پایین و بالای انرژی فوتون است.

کلیدواژگان: پرتو درمانی، Geant4، فیلم گافکرومیک، فاکتور افزایش دز، حساس‌کننده.

## ۱. مقدمه

پرتو درمانی یکی از روش‌های مرسوم در درمان سرطان در کنار روش‌های دیگر نظریه جراحی و شیمی درمانی است. تقریباً ۵۲٪ بیماران سرطانی حداقل یکبار در برنامه درمانی خود تحت

ضریب جذب انرژی آن نسبت به بافت نرم را در پی دارد.  
 (۲) گادولینیوم به طور گستردگی در تصویربرداری پزشکی به عنوان عامل کتراست تصویربرداری رزونانس غیرمغناطیسی غیراختصاصی مورد استفاده قرار می‌گیرد.  
 (۳) آزمایش‌های انجام شده بر روی موش‌هایی که تومور با ترکیبات گادولینیوم بارگذاری شد، افزایش قابل توجه زمان بقا را نشان می‌دهد [۷ و ۸].

در انرژی‌های بالای فوتون نظیر آنچه در یک شتابدهنده خطی الکترون (LINAC)<sup>۱</sup> ایجاد می‌گردد، پدیده فتوالکتریک غالب نیست و بنابراین انتظار می‌رود فاکتورهای افزایش دز (DEF) بالا نباشد [۹ و ۱۰]. بررسی افزایش دز بر حسب غلاظت ترکیب متکسافین گادولینیوم<sup>۲</sup> (MGd) در انرژی‌های فوتون ۶ MV به دو شکل فاقد فیلتر مسطح‌کننده دز<sup>۳</sup> (FFF) و فیلتر مسطح‌کننده دز<sup>۴</sup> نشان می‌دهد که به دلیل وجود پرتوهای کم انرژی و افزایش برهم‌کنش فتوالکتریک در FFF، درصد افزایش دز بالاتر است ولی این میزان برای غلاظت‌های مرسوم مورد استفاده از گادولینیوم در تصویربرداری قابل توجه نیست، به طوری که فاکتور افزایش دز تقریباً یک است [۱۰-۱۳].

در این تحقیق با استفاده از شتابدهنده خطی الکترون واقع در بیمارستان میلاند، فاکتورهای افزایش دز در حضور گادولینیوم با غلاظت‌های مختلف در یک فانتوم حاوی آب و تومور فرضی مورد بررسی قرار گرفت. علاوه بر این شبیه‌سازی توسط بسته نرم‌افزاری Geant4 برای فانتوم مذکور در برابر فوتون‌هایی با انرژی در محدوده ۲ keV، انرژی میانگین ۶ MeV و طیف انرژی فوتون‌های حاصل از شتابدهنده خطی ۶ MV نیز انجام شده است. در واقع ۶ MV، بیانگر اختلاف پتانسیل بین آند و کاتد در تفنگ الکترونی دستگاه است و در این

اجزای داخل سلولی مانند DNA است. برهم‌کنش تابش یوننده با DNA، مجموعه‌ای از الکترون‌ها، یون‌ها و رادیکال‌های آزاد مانند  $\cdot\text{OH}$ ,  $\text{H}_2\text{O}^+$ ,  $\text{H}^+$  و  $\text{O}_2^-$  تولید می‌کند که به تخریب DNA منجر می‌شوند [۴-۶].

تخریب سلول‌های سالم علاوه بر سلول‌های سرطانی بزرگترین چالش در پرتو درمانی است. راه حل‌های متعددی برای غلبه بر این مشکل ارائه شده است که عموماً به دو دسته اصلی تقسیم‌بندی می‌شوند:

- (۱) به کارگیری تکنیک پرتو درمانی پیشرفتی با استفاده از میدان‌های تابشی شدت مدوله شده (IMRT) به منظور تطبیق دقیق‌تر دز به حجم تومور هدف که موضوع این تحقیق نیست.
- (۲) گسترش نسل جدیدی از روش‌های درمانی بر پایه حساس‌کردن سلول‌ها به تابش یوننده با بهبود اثر دز با استفاده از موادی با عدد اتمی بالا (حساس‌کننده‌ها) [۵].

در حقیقت دز تحويل شده به تومور در طی رادیوتراپی بر پایه فوتون، می‌تواند با افزودن مواد با عدد اتمی بالا نظیر طلا ( $Z=75$ ), بد ( $Z=53$ ) و گادولینیوم ( $Z=64$ ) به ناحیه تومور به علت ضریب جذب بالاتر آن نسبت به بافت‌های طبیعی مجاور، افزایش یابد [۶].

در بازه انرژی کیلوولتاز به علت سطح مقطع‌های بزرگ فتوالکتریک مواد با عدد اتمی بالا، برهم‌کنش‌های قابل توجهی رخ می‌دهد. انتقال انرژی خطی بالا و برداشت کوتاه محصولات برهم‌کنش فتوالکتریک (فتوالکترون‌ها، الکترون‌های اوژه و ...) منجر به افزایش دز موضعی تومور می‌شود. استفاده از گادولینیوم به عنوان حساس‌کننده به چند دلیل مورد توجه قرار گرفته است:

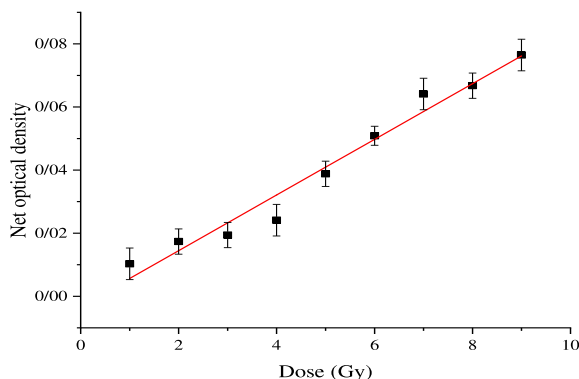
- (۱) عدد اتمی و چگالی بالای گادولینیوم که بالاتر بودن

<sup>1</sup> Linear accelerator

<sup>2</sup> Motexafin gadolinium

<sup>3</sup> Flattening filter free (FFF)

<sup>4</sup> Conventional flattened



شکل (۱): چگالی اپتیکی حاصل از دزهای متفاوت در گستره ۱-۹ Gy

فیلم گاف کرومیک MD-V2-55

$$y = 0.00882x - 0.00318$$

## ۲.۱.۲. فاکتور افزایش دز

برای بررسی فاکتور افزایش دز در غلظت‌های مختلف گادولینیوم، از یک فانتوم مکعب‌شکل از جنس پلکسی‌گلاس به ابعاد  $16 \times 16 \times 16 \text{ cm}^3$ ، حاوی آب مقطر تا ارتفاع ۱۰ cm استفاده شد.

داخل این فانتوم، فانتوم دیگری از همان جنس به ابعاد  $6 \times 4 \times 3 \text{ cm}^3$  و در ارتفاع ۶ cm از کف فانتوم مکعبی قرار گرفت که به عنوان آشکارساز در نظر گرفته شد. ناحیه آشکارساز به سه بخش تقسیم شده است که ناحیه وسط، محل تومور فرضی و قرارگیری نیترات گادولینیوم است. در شکل ۲ به صورت شماتیک موقعیت فیلم‌های گاف کرومیک در آشکارساز و مکان آب مقطر و گادولینیوم نشان داده شده است.

برای تهیه غلظت‌های مختلف گادولینیوم، از ماده  $\text{Gd}(\text{NO}_3)_3 \cdot 6\text{H}_2\text{O}$  استفاده شد که پس از رقیق کردن با آب مقطر، به غلظت‌های ۱، ۲، ۴ و ۸ mg/ml رسید. جدول ۱ درصد وزنی اجزای تشکیل دهنده بافت و عنصر گادولینیوم را بر حسب غلظت نشان می‌دهد. شیارهایی در سه ناحیه آشکارساز برای قراردادن ۱۳ فیلم گاف کرومیک تعییه شده است. فوتون‌های حاصل از شتاب‌دهنده خطی الکترون-۶ MV منحنی کالیبراسیون حاصل از پرتوی ۶ MV دستگاه شتاب‌دهنده خطی ترسیم شده است.

حالت، الکترون‌هایی با انرژی MeV ۶ تولید می‌شوند که پس از برخورد با آند، پرتوهای ایکس با یک طیف انرژی ایجاد می‌کنند که در این طیف، بیشینه انرژی فوتون‌ها حدود ۶ MeV است.

## ۲. روش کار

### ۲.۱. بخش تجربی تحقیق

#### ۲.۱.۱. منحنی کالیبراسیون

به منظور بررسی پاسخ فیلم دزیمتری گاف کرومیک MD-V2-55 و تعیین منحنی کالیبراسیون، از ۹ قطعه فیلم به ابعاد  $2 \times 2 \text{ cm}^2$  استفاده شد. پرتودهی فیلم‌ها در فاصله ۱۰۰ cm، از چشمۀ شتاب‌دهنده خطی ۶ MV انجام شد.

یک فیلم دیگر نیز جهت تعیین پس زمینه، دور از دستگاه کنار گذاشته شد. در مرحله اول همه فیلم‌ها تحت تابش ۱ Gy قرار گرفته و یکی از فیلم‌ها برداشته شد. در مرحله بعد ۸ فیلم باقی‌مانده تحت تابش ۱ Gy اضافی دیگر قرار گرفته و فیلم دوم برداشته می‌شود. این کار تا فیلم آخر که تحت تابش ۹ Gy قرار گرفته ادامه پیدا می‌کند. این کار سه مرتبه تکرار شد.

همه فیلم‌های در معرض تابش و پس زمینه به مدت ۴۸ ساعت به دور از هر گونه نور و تماس در شرایط کاملاً یکسان، نگهداری شده و سپس به کمک اسکنر پرšکی با رزولوشن ۶۰۰ پیکسل بر اینچ، از فیلم‌ها اسکن گرفته شد و تصاویر ذخیره شدند. سپس داده‌های حاصل به کمک نرم‌افزار MATLAB آنالیز شده و میزان چگالی نوری هر قطعه فیلم با حذف چگالی نوری تابش زمینه محاسبه گردید. در شکل ۱ منحنی کالیبراسیون حاصل از پرتوی ۶ MV دستگاه شتاب‌دهنده خطی ترسیم شده است.

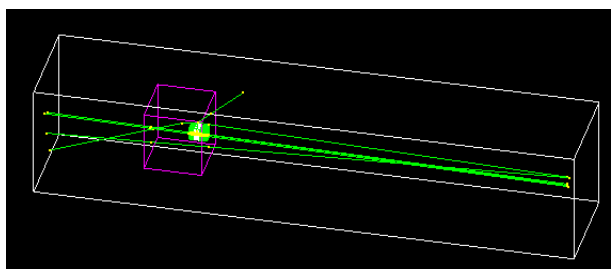
## ۲.۲. بخش شبیه‌سازی تحقیق

با استفاده از بسته‌ی نرم‌افزاری Geant4.10 و تحت لینوکس، شرایط آزمایش عملی کاملاً شبیه‌سازی گردید. ابعاد فانتم، آشکارساز و موقعیت آن دو نسبت به یکدیگر و جنس آن‌ها مطابق شرایط عملی تعریف گردید. ماده حساس‌کننده گادولینیوم با توجه به غلظت‌های مختلف آن نیز تعریف شد.

جدول (۱): درصد وزنی اجزای تشکیل‌دهنده تومور فرضی و عنصر گادولینیوم به عنوان ماده حساس‌کننده.

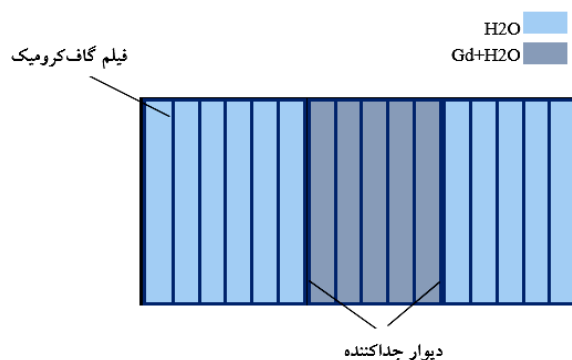
درصد O	درصد N	درصد H	درصد Gd	Gd (mg/mL)
۸۶,۷۸	۰,۰۳	۱۱,۰۸۶	۰,۱۰	۱
۸۸,۶۸	۰,۰۶	۱۱,۰۶	۰,۲۰	۲
۸۸,۴۸	۰,۱۱	۱۱,۰۱	۰,۴۰	۴
۸۹,۰۷	۰,۲۲	۱۰,۹۱	۰,۸۰	۸

چشممهی پرتونی X و گاما به صورت مربعی به ضلع ۵ cm و در فاصله ۱۰۰ cm از سطح فانتم قرار گرفت. راستای انتشار پرتوهای X و گاما، در امتداد محور Z تعریف شده است (شکل ۴). انرژی تعریف شده برای پرتوهای X، از گستره شتاب‌دهنده خطی الکترون (2 MeV) تعریف شد. از آنجایی که شتاب‌دهنده خطی الکترون طیفی از پرتوهای کم‌انرژی تا انرژی بالا را شامل می‌شود، طیف انرژی گامای ۶ MV شتاب‌دهنده خطی الکترون Varian TrueBeam (شکل ۵) نیز شبیه‌سازی شد [۱۷].



شکل (۴): هندسه شبیه‌سازی شده در محاسبات Geant4.

(شکل ۳). در ابتدا سه ناحیه آشکارساز با آب مقطر پر شد و چشممه به مجموعه تابانده شد، سپس هر بار Gd با غلظت مشخص در ناحیه دوم آشکارساز قرار گرفت و دو قسمت دیگر با آب مقطر پر شد و چشممه به آن تابانده شد. باز هم با جمع‌آوری فیلم‌ها و نگهداری آن‌ها به دور از نور، چگالی اپتیکی را به دست آورده و از فرمول به دست آمده از شکل ۱، دز را در هر فیلم به دست می‌آوریم. با تقسیم دز در شرایطی که حساس‌کننده Gd استفاده شده به دز در شرایطی که حساس‌کننده ندارد، مقدار فاکتور افزایش دز (DEF) به دست می‌آید.



شکل (۲): تصویر شماتیکی از آشکارساز (به منظور وضوح بیشتر مقیاس‌ها رعایت نشده‌اند).



شکل (۳): تنظیمات تجربی فانتم حاوی آب و نیترات گادولینیوم و دستگاه شتاب‌دهنده خطی الکترون بیمارستان میلاد اصفهان.

### ۳. نتایج

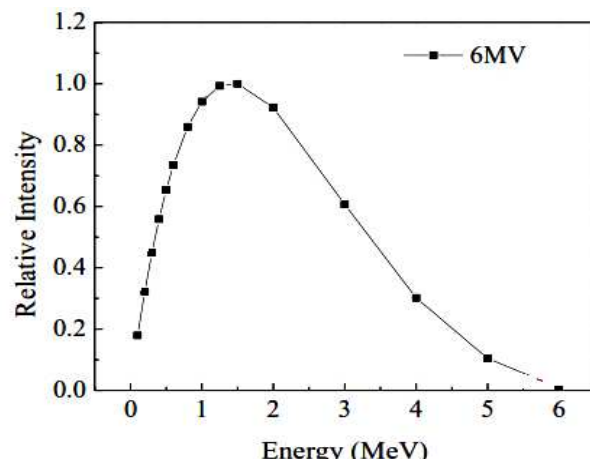
در قسمت شبیه‌سازی از فوتون‌های تک‌انرژی در گستره  $30 \text{ keV}$  تا  $80 \text{ keV}$  و انرژی میانگین حاصل از شتاب‌دهنده خطی الکترون واقع در بیمارستان میلاد اصفهان ( $E_{\text{ave}} = 2 \text{ MeV}$ ) و طیف انرژی گامای شتاب‌دهنده خطی الکترون Varian TrueBeam-6 MV، برای به‌دست آوردن انرژی بهینه‌ای که در آن افزایش دز به مقدار بیشینه‌ی خود می‌رسد، استفاده شد. همچنین برای بررسی اثر غلظت عنصر حساس‌کننده Gd از چهار غلظت  $1, 2, 4$  و  $8 \text{ mg/ml}$  استفاده شد. آشکارساز به ۷۴٪ قسمت تقسیم‌بندی شد و مقادیر ذر به‌ازای یک ذره و مقدار فاکتور افزایش دز (DEF) به‌دست آمد. مقدار DEF در هر نقطه به صورت نسبت دز در آن نقطه در حضور عنصر حساس‌کننده به دز در همان نقطه بدون حضور عنصر حساس‌کننده محاسبه شد.

داده‌های شبیه‌سازی نشان می‌دهد که در انرژی‌های پایین X، وجود ماده حساس‌کننده گادولینیوم در ناحیه تومور باعث افزایش دز در این ناحیه و متعاقب آن افزایش DEF می‌شود. دلیل این مسئله، بالارفتن عدد اتمی مؤثر ناحیه تومور نسبت به محیط اطراف است. فرآیند غالب برهم‌کنش پرتوی X با ماده در این گستره‌ی انرژی، جذب فوتوالکتریک است. از آنجایی که رابطه‌ی سطح‌قطعه جذب فوتوالکتریک مناسب با  $Z^4$  و یا  $Z^{4.8}$  است [۱۹-۲۰]، بنابراین با افزایش عدد اتمی مؤثر در حجم تومور، جذب فوتون از طریق فوتوالکتریک و به دنبال آن تولید ذرات ثانویه مانند فوتوالکترون‌ها، الکترون‌های اوژه و تابش مشخصه X افزایش می‌یابد. ذرات تولید شده برد کوتاهی داشته و این مسئله باعث افزایش دز موضعی در تومور می‌شود.

شکل ۶ (a) اثر افزایش غلظت گادولینیوم در افزایش دز موضعی و (b) فاکتور افزایش دز در ناحیه تومور را نشان می‌دهد. هرچه تعداد اتم‌های ماده حساس‌کننده در ناحیه تومور بیشتر باشد، میزان برهم‌کنش‌های فوتوالکتریک در این ناحیه

در فایلی به نام physicslist، انواع برهم‌کنش‌ها مناسب با نوع ذره فرودی و انرژی ذره تعريف می‌گردد. با توجه به محدوده انرژی پایین پرتوهای X و بالای انرژی گاما، از مدل G4EmStandardPhysics\_option3 استفاده شده است. این دقت بالا به علت استفاده از کاهش گام پراکندگی چندگانه است. در این مدل کلاس‌هایی برای شبیه‌سازی انواع برهم‌کنش‌های الکترومغناطیسی شامل فوتوالکتریک، پراکندگی چندگانه و یونش یون‌ها فراهم شده است. در Geant4، قطع تولید ذرات ثانویه بر حسب برد قطع تعريف می‌شود که در ابتدای زمان مقداردهی اولیه به انرژی قطع تبدیل می‌شود. با رسیدن انرژی به انرژی قطع، ردبایی ذرات متوقف شده و بقیه‌ی انرژی در همان نقطه به جای گذاشته می‌شود [۱۸].

در این تحقیق مقدار قطع  $0.05 \text{ mm}$  درنظر گرفته شد. تعداد ذرات اولیه برای شبیه‌سازی پرتوهای X کم‌انرژی، به‌منظور رسیدن به خطای نسبی کمتر از یک درصد،  $10^8$  ذره درنظر گرفته شد. برای شبیه‌سازی طیف انرژی گامای حاصل از شتاب‌دهنده خطی الکترون با بیشینه انرژی گامای ۶ MV، به‌دلیل خطای بالا به‌ازای  $10^8$  ذره، تعداد ذرات اولیه  $10^{10}$  درنظر گرفته شد که در این حالت خطای کمتر از دو درصد است.



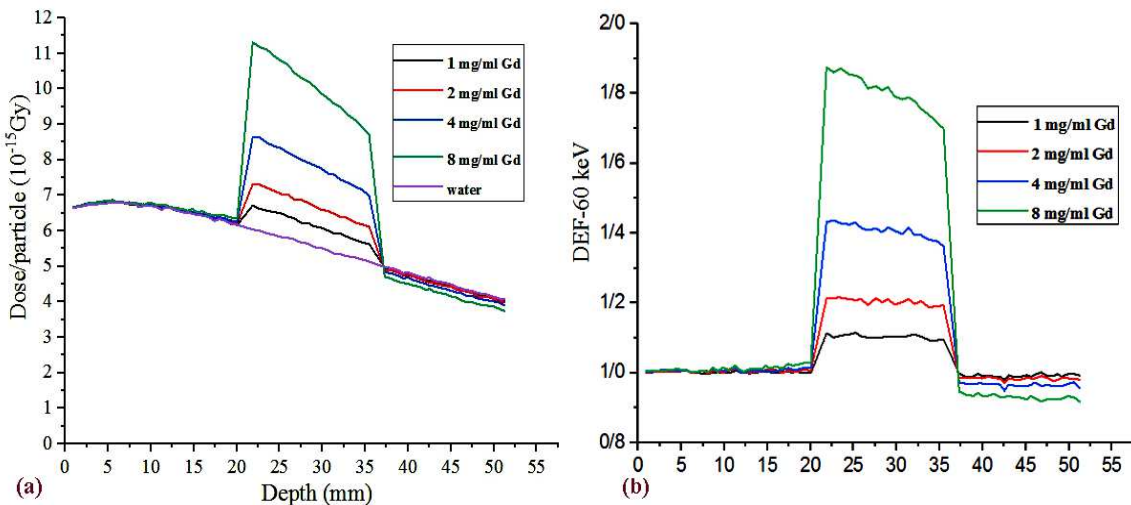
شکل (۵): طیف انرژی پرتوی ایکس حاصل از شتاب‌دهنده خطی الکترون Varian TrueBeam با بیشینه انرژی پرتوی ایکس ۶ MeV

میزان یکنواختی دز در ناحیه تومور کاهش می‌یابد

(شکل ۷) [۱۹].

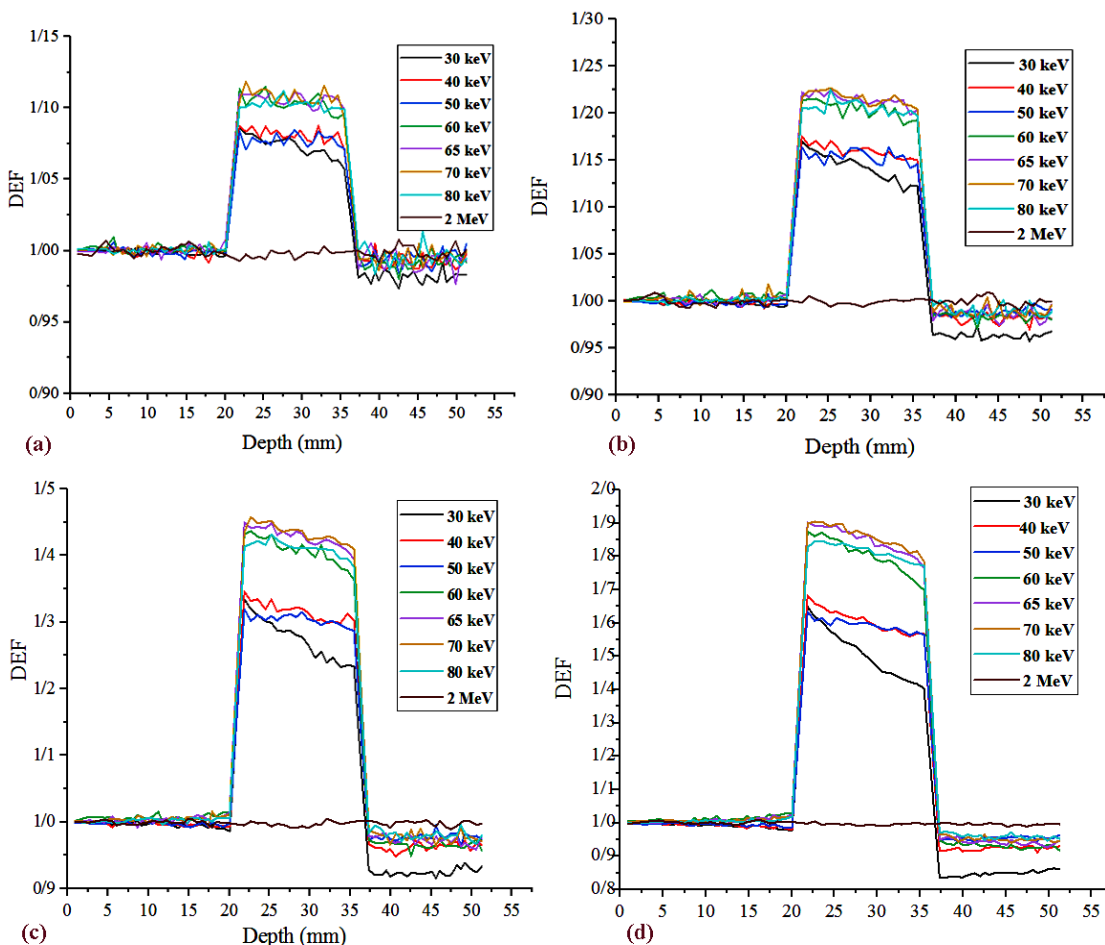
بیشتر شده و درنتیجه تولید ذرات ثانویه و فاکتور افزایش دز

بالاتر را درپی دارد. از طرفی با افزایش غلظت گادولینیوم،



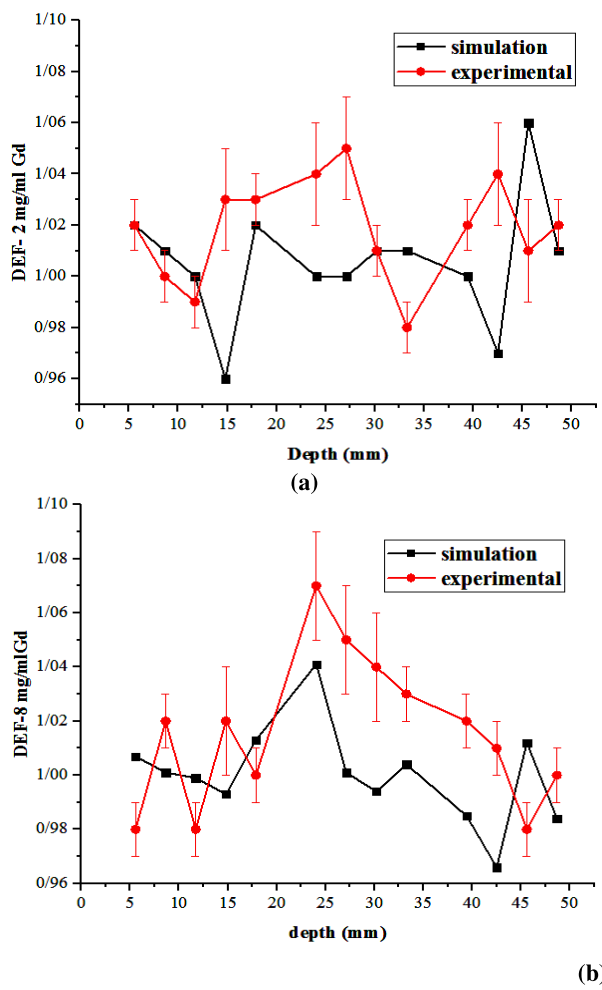
شکل (۶): (a) دز بهازی یک ذره بر حسب عمق، (b) فاکتور افزایش دز بر حسب عمق، در غلظت‌های مختلف گادولینیوم در انرژی  $60 \text{ keV}$  با استفاده از

.Geant4 کد



شکل (۷): فاکتور افزایش دز بر حسب عمق در انرژی‌های مختلف گادولینیوم در غلظت‌های (a)  $1 \text{ mg/ml}$ ، (b)  $2 \text{ mg/ml}$ ، (c)  $4 \text{ mg/ml}$  و

.Geant4 کد با استفاده از (d)  $8 \text{ mg/ml}$



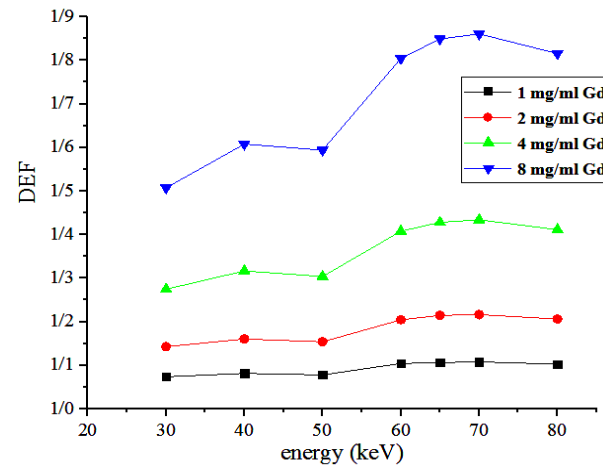
شکل (۹): مقایسه نتایج تجربی و شبیه‌سازی دستگاه شتابدهنده خطی الکترون برای غلظت  $8 \text{ mg/ml Gd}$  (a) و  $2 \text{ mg/ml Gd}$  (b)

جدول (۲): نتایج تجربی فاکتور افزایش دز بر حسب عمق (میلی‌متر)  
فاتنوم برای غلظت‌های مختلف گادولینیوم.

غلو	DEF $1 \text{ mg/ml Gd}$	DEF $2 \text{ mg/ml Gd}$	DEF $4 \text{ mg/ml Gd}$	DEF $8 \text{ mg/ml Gd}$	عمق mm
$0.98 \pm 0.01$	$0.99 \pm 0.01$	$1.02 \pm 0.01$	$1.01 \pm 0.01$	-	۵.۰۵
$1.02 \pm 0.01$	$1.00 \pm 0.01$	$1.00 \pm 0.01$	$1.02 \pm 0.01$	-	۸.۶۳
$0.98 \pm 0.01$	$0.98 \pm 0.02$	$0.99 \pm 0.01$	$0.99 \pm 0.02$	-	۱۱.۷۱
$1.02 \pm 0.02$	$0.98 \pm 0.02$	$1.03 \pm 0.02$	$0.98 \pm 0.02$	-	۱۴.۷۹
$1.00 \pm 0.01$	$0.97 \pm 0.02$	$1.03 \pm 0.01$	$1.03 \pm 0.01$	-	۱۷.۸۷
$1.08 \pm 0.02$	$1.07 \pm 0.01$	$1.04 \pm 0.02$	$1.03 \pm 0.01$	-	۲۴.۰۳
$1.10 \pm 0.02$	$1.03 \pm 0.02$	$1.05 \pm 0.02$	$1.02 \pm 0.02$	-	۲۷.۱۱
$1.07 \pm 0.02$	$1.05 \pm 0.01$	$1.01 \pm 0.01$	$1.04 \pm 0.02$	-	۳۰.۱۹
$1.04 \pm 0.01$	$0.96 \pm 0.02$	$0.98 \pm 0.01$	$0.98 \pm 0.02$	-	۳۳.۲۷
$1.03 \pm 0.01$	$1.08 \pm 0.02$	$1.02 \pm 0.01$	$1.02 \pm 0.02$	-	۳۹.۴۳
$1.02 \pm 0.01$	$1.05 \pm 0.02$	$1.04 \pm 0.02$	$1.03 \pm 0.02$	-	۴۲.۵۱
$0.98 \pm 0.01$	$1.08 \pm 0.02$	$1.01 \pm 0.01$	$1.02 \pm 0.01$	-	۴۵.۰۹
$1.00 \pm 0.01$	$1.01 \pm 0.01$	$1.02 \pm 0.01$	$0.99 \pm 0.01$	-	۴۸.۶۷

شکل ۸ نشان می‌دهد، فاکتور افزایش دز در ناحیه تومور در برابر فوتون‌های با انرژی  $70 \text{ keV}$  به بیشینه مقدار خود می‌رسد. این شیفت انرژی نسبت به لبه  $k$  گادولینیوم ( $50.2$ ) به دلیل عبور پرتوی X از آب و تضعیف آن‌ها پیش از ورود به ناحیه حاوی گادولینیوم است.

در انرژی ثابت  $2 \text{ MeV}$  (انرژی میانگین شتابدهنده خطی)، نتایج شبیه‌سازی نشان می‌دهد که وجود گادولینیوم با غلظت‌های  $1, 2, 4$  و  $8 \text{ mg/ml}$  تأثیری روی فاکتور افزایش دز ناحیه تومور نداشت، زیرا در این انرژی، اثر فتوالکترونیک قابل چشم‌پوشی است. البته شتابدهنده خطی الکترون متشكل از طیف انرژی فوتون است که فوتون‌های انرژی پایین ( $150 \text{ keV}$ ) را نیز شامل می‌شود. از این‌رو برای بررسی فاکتور افزایش دز در غلظت‌های مختلف گادولینیوم، درنظر گرفتن طیف شتابدهنده مناسب‌تر است.



شکل (۸): فاکتور افزایش دز بر حسب انرژی در غلظت‌های مختلف گادولینیوم.

نتایج تجربی فاکتور افزایش دز بر حسب عمق برای غلظت‌های  $1, 2, 4$  و  $8 \text{ mg/ml}$  در جدول ۲ نشان داده شده است. برای غلظت‌های  $2$  و  $8 \text{ mg/ml}$  حاصل از شبیه‌سازی طیف انرژی شتابدهنده  $6 \text{ MV}$  Varian TrueBeam و نتایج تجربی در شکل ۹ نشان داده شده‌اند.

حساس‌کننده گادولینیوم، در انرژی‌های پایین پرتوی X به خوبی نشان می‌دهد. همچنین با افزایش غلظت گادولینیوم میزان افزایش دز به صورت خطی بیشتر شده و یکنواختی دز در ناحیه تومور کاهش می‌یابد. در انرژی‌های بالای پرتوی گاما، افزایش دز در غلظت‌های مختلف گادولینیوم قابل چشمپوشی است و فاکتور افزایش دز تقریباً یک باقی می‌ماند.

## ۵. تشکر و قدردانی

از کادر محترم بیمارستان میلاد اصفهان و آزمایشگاه دانشکده شیمی دانشگاه اصفهان کمال تشکر و قدردانی را دارم.

نتایج شبیه‌سازی در شکل ۹ نشان می‌دهد که به علت وجود فوتون‌های با انرژی پایین در طیف شتاب‌دهنده و یا برهم‌کنش‌های کامپیون در ناحیه‌ای که حاوی گادولینیوم است، نوساناتی در فاکتور افزایش دز دیده می‌شود. این افزایش اندک دز موضعی بهدلیل وجود فوتون‌های کم‌انرژی در مجاورت گادولینیوم در آن ناحیه است. زیرا احتمال برهم‌کنش فوتوالکترونیک افزایش یافته و افزایش اندک دز موضعی را به همراه دارد. همین اثر در نتایج تجربی هم به دست آمده است.

## ۴. نتیجه‌گیری

نتایج شبیه‌سازی، افزایش دز جذبی را در حضور ماده

## ۶. مراجع

- [1] G. Delaney, S. Jacob, C. Featherstone and M. Barton. The role of radiotherapy in cancer treatment: estimating optimal utilization from a review of evidence-based clinical guidelines. *Cancer*, 104(6) (2005) 1129-1137.
- [2] M. Babaei and M. Ganjalikhani. The potential effectiveness of nanoparticles as radio sensitizers for radiotherapy, *Biolmpacts*, 4(1) (2014) 15-20.
- [3] D. Kwatra, A. Venugopal and Sh. Anant. Nanoparticles in radiation therapy: a summary of various approaches to enhance radiosensitization in cancer, *Translation Cancer Reaserch*, 2(4) (2013) 330-342.
- [4] W.N. Rahman, N. Bishara, T. Ackerly, C.F. He and P. Jackson. Enhancement of radiation effects by gold nanoparticles for superficial radiation therapy, *Nanomedicine*, 5(2) (2009) 136-142.
- [5] L. Sancey, F. Lux, S. Kotb and S. Roux. The Use of Theranostic Gadolinium-Based Nanoprobes to Improve Radiotherapy Efficacy, *Br J Radiol*, 87(1041) (2014) 20140134.
- [6] J.C. G. Jeynes, M.J. Merchant, A. Spindler, A-C. Wera and K.J. Kirkby. Investigation of gold nanoparticles radiosensitization mechanisms using a free radical scavenger and protons of different energies, *Physics in Medicine & Biology*, 59(21) (2014) 6431-6443.
- [7] L. Stefancikova, E. Porcel, P. Eustache, Sh. Li, D. Salado and S. Marco. Cell localisation of gadolinium-based nanoparticles and related radiosensitising efficacy in glioblastoma cells, *Cancer Nanotechnol*; 5(1) (2014):6.
- [8] Y. Prezado, G. Fois, G.L. Duc and A. Bravin. Gadolinium dose enhancement studies in microbeam radiation therapy, *Med phys.* 36(8) (2009) 3568-3574.
- [9] F. Taupin, M. Flander, R. Delorme, T. Btochard, J.F. Mayol, P. Perriat, L. Sancey, F. Lux, R.F. Barth, M. Carriere, L. Ravanat and H. Elleaume. Gadolinium nanoparticles and Nanotechnol contrast agent as radiation sensitizers, *Phys. Med. Biol.* 60(11) (2015) 4449-4464.
- [10] A. Detappe, S. Kunjachan, P. Drane, S. Kotb, M. Myronakis, D. E. Biancur, T. Ireland, M. Wagar, F. Lux, O. Tillement and R. Berbeco. Key clinical beam parameters for nano-particle-contrast agent as radiation sensitizers, *Scientific reports*, 6(1)(2016).
- [11] D.G. Zhang, V. Feygelman, E.G. Moros, K. Latifi and G.G. Zhang. Monte Carlo Study of Radiation Dose Enhancement by Gadolinium in Megavoltage and High Dose Rate Radiotherapy, *Plos one*, 9(10) (2014).
- [12] I. Martinez-Rovira and Y. Prezadoa. Monte Carlo dose enhancement studies in microbeam radiation therapy, *Med Phys*, 38(7) (2011) 4430-4439.
- [13] R. Delorme, F. Taupin, M. Flaender, J. Ravanant, Ch. Champion, M. Agelou and H. Elleaume. Comparison of Gadolinium Nanoparticles and Molecular Contrast Agents for Radiation Therapy Enhancement, *Med. Phys.*, 44(11) (2017) 5949-5960.
- [14] J.L. Robar, S. Ricca and M.A. Martin. Tumor dose enhancement using modified megavoltage photon beams and contrast media. *Phys Med Biol*, 47(14) (2014) 2433-2449.
- [15] M. Santibanez, M. Fuentealbe, F.A. Torres-Ruiz and A. Vargas. Experimental determination of the gadolinium dose enhancement in phantom irradiated with low energy X-ray sources by a spectrophotometer-Gafchromic-EBT3 dosimetry system, *Applied Radiation and Isotopes*, 154(2019) 108857.
- [16] M. Luchette, H. Korideck, M. Makrigiorgos, O. Tillement and R. Berbeco. Radiation dose enhancement of gadolinium-based AGuIX nanoparticles on HeLa cells, *Nanomedicine*, 10(8) (2014) 1751-5.
- [17] N.R. Paudel, Nanoparticle-aided radiation therapy: micro-dosimetry and evaluation of the mediators producing biological damage, Univercity of Toledo, August 2014.
- [۱۸] فائزه رحمانی و محمدتقی بطیار. آموزش ابزار مونت کارلوی Geant4، انتشارات دانشگاه صنعتی خواجه نصیرالدین طوسی، (۱۳۹۴).
- [۱۹] مهسا الهام نیا و محمدزضا قاسمی. محاسبه فاکتور افزایش دز پرتوهای ایکس در تومور فرضی نشان دار شده با گادولینیوم، با استفاده از کد Geant4، مجله علوم پزشکی خراسان شمالی، دوره ۷ (۱۳۹۴) ۲۶-۲۷.
- [20] H. Ranjbar, M. Shamsaei and M.R. Ghasemi. Investigation of dose enhancement factor of high intensity low mono-energetic X-ray radiation with labeled tissues by gold nanoparticles, *Nukleonika*, 55(3) (2010) 307-312.

---